

## خوردگی خفره‌ای فولاد زنگ نزن دیپلکس در محلول حاوی یون‌های کلراید و بروماید\*

مریم السادات مرعشی<sup>(۱)</sup>مریم عباسی<sup>(۲)</sup>محمد‌هادی موید<sup>(۳)</sup>

**چکیده** امروزه فولادهای زنگ نزن دیپلکس کاربرد وسیعی در محیط‌های خورنده طبیعی از جمله آب دریا پیدا کرده‌اند. آب دریا افزون بر پیچیدگرهای بیولوژیکی، به خاطر دار بودن یون‌های مهاجم کلراید و بروماید باعث وقوع خوردگی موضعی در فولادهای زنگ نزن می‌شود. در این تحقیق خوردگی خفره‌ای فولادهای زنگ نزن دیپلکس در حضور یون‌های یاد شده به منظور بررسی تاثیر همزمان این یون‌ها مدد نظر بوده است. آزمون‌های پلاریزاسیون با پتانسیل ثابت در پتانسیل‌های آندی ۳۰۰، ۱۵۰ و ۴۵۰ mV<sup>o</sup> نتیجه انتخاب کالرول در محلول‌های ۰.۰۱، ۰.۱ و ۱ مولار NaCl و مسنجین، محلول‌های با غلظت یکسان از مجموع یون‌های کلراید و بروماید (Cl<sup>-</sup>+Br<sup>-</sup>) در مقایسه با محلول‌های تنها حاوی یون کلراید به منظور تاثیر همزمان این یون‌ها بر خوردگی خفره‌ای این فولاد در دماهای ۲۵ و ۴۵°C انجام گرفته است. نتایج نشان می‌دهد که حضور یون بروماید در کثیر یون کلراید تاثیر منفی بر خوردگی خفره‌ای در مقایسه با محلول تنها حاوی یون کلراید دارد. این تأثیر منفی در افزایش انتشاره و طول عمر خفره‌های نایابی‌دار و کاهش پتانسیل خفره دار شدن فولاد دیده شده است، بررسی معرفولوژی خفره‌های نایابی‌دار و پایدار با میکروسکوپ الکترونی روبشی در محلول حاوی یون بروماید تأییدی بر اثر تخریب یون بروماید در مقایسه با یون کلراید بر خوردگی خفره‌ای این فولادها را نشان می‌دهد.

**واژه‌های کلیدی** خوردگی خفره‌ای، یون بروماید، یون کلراید، فولاد زنگ نزن دیپلکس.

### Pitting Corrosion of Duplex Stainless Steel in Chloride and Bromide Ions Containing Solution

M. Marashi

M. Abbasی

M. H. Moayed

**Abstract** Nowadays Duplex stainless steels are widely used in natural corrosive environment such as sea water. Beside biological complexity of this environment, stainless steels alloy suffer from localized corrosion in sea water due to the presence of chloride and bromide aggressive ions. Pitting corrosion of a Duplex stainless steel at the presence of halide ions specially chloride and bromide has been investigated. Potentiodynamic polarization and potentiostatic polarization at applied anodic potentials (150, 300 and 450 mV) in 0.01, 0.1, 1 M NaCl and also constant concentrations of both Cl<sup>-</sup>+Br<sup>-</sup> ions at 25 and 45°C were studied. The results revealed that presence of bromide and chloride ions have a detrimental effects on pitting corrosion. These detrimental effects were appeared in increase on magnitude and lifetime of metastable pitting transients and also lowering pitting potential of the alloy. Morphological observation of metastable and stable pits by Scanning Electron Microscopy (SEM) in bromide containing solution proved the detrimental effect of these ions on pitting corrosion of duplex stainless steels.

**Key Word** Pitting corrosion, Bromide ion, Chloride ion, Duplex stainless steel.

\* نسخه اولیه مقاله در تاریخ ۱۳۸۷/۸/۱۳ و نسخه نهایی آن در تاریخ ۱۳۸۷/۸/۱۲ به دفتر نشریه رسیده است.

(۱) دانش آموخته کارشناسی، دانشکده مهندسی، دانشگاه فردوسی مشهد

(۲) دانش آموخته کارشناسی، دانشکده مهندسی، دانشگاه فردوسی مشهد

(۳) داشیار، دانشکده مهندسی، دانشگاه فردوسی مشهد

## مقدمه

اگرچه رابطه بالاشکل ساده تر روابط ارائه شده برای این عدد می‌باشد اما این رابطه به طور وسیعی مورد استفاده کاربران این گونه فولادها قرار می‌گیرد. تحقیقات زیادی برای ارائه ضریب مناسب هر عنصر آلیاژی در رابطه بالا صورت گرفته است. از جمله برناردسون [4] با مشاهده تأثیر فوق العاده مثبت عنصر آلیاژی نیتروژن در افزایش مقاومت به خوردگی خفرهای فولادهای زنگ دیپلکس در مقایسه با فولادهای آستینی پیشنهاد ضریب  $20$  به جای  $16$  را برای این فولادها مطرح کرد. محاسبات ترمودینامیکی برای پیدا کردن ارتباط بین هر فاز از نقطه نظر ترکیب شیمیایی با عدد PRN انجام شده است. نتایج این تحقیقات بیانگر پاییتر بودن مقاومت به خوردگی خفرهای فاز آستینی در مقایسه با فریت در این فولادها می‌باشد. دلیل ارائه شده توزیع بیشتر عناصر آلیاژی مفید در فاز فریت (از جمله انحلال بیشتر کروم و مولیبدن در این فاز)، در مقایسه با فاز آستینی که تنها قادر به انحلال مقادیر بیشتری از نیتروژن است، می‌باشد. به عبارتی با توجه به ترکیب شیمیایی هر فاز در فولاد دیپلکس، فریت عدد PRN بالاتری در مقایسه با آستینی خواهد داشت. از طرفی نقش درصد حجمی هر کدام از این دو فاز در خوردگی خفرهای توسط گوها، کومبراد و سریدار آلیاژی مؤثر در عدد PRN منجر به تغییر در نسبت هر کدام از فازها در مورفولوژی نهایی و در نتیجه در مقاومت به خوردگی در این فولادها خواهد داشت. بررسی ترکیب شیمیایی فولادهای دیپلکس نشان می‌دهد که این فولادها عموماً حاوی  $17$  تا  $30$  درصد وزنی کروم و  $3$  تا  $13$  درصد وزنی نیکل می‌باشند. درصد وزنی کربن در این فولادها کمتر از  $0.08$  درصد است ولی گاهی برای افزایش استحکام کششی، برخی از آنها دارای تا  $0.03\%$  وزنی کربن می‌باشند. از طرفی این

خوردگی خفرهای یکی از مخرب ترین انواع خوردگی است که اغلب سریع و غافلگیرانه عمل می‌کند. این نوع خوردگی در فولادهای زنگ نزن در اثر حمله موضعی به نواحی انتخابی سطح، ترجیحاً محل آحوالهای سولفیدی و یا اکسیدی، اتفاق می‌افتد [1,2]. امروزه ارائه فولادهای زنگ نزن مقاوم به خوردگی خفرهای که عموماً دارای مقادیر معتبره عناصر آلیاژی مفید از جمله کروم، مولیبدن و نیتروژن می‌باشند، تحول عمده ای در ساخت و تولید محصولات مهندسی مقاوم به این نوع خوردگی را فراهم ساخته است. فولادهای زنگ نزن دیپلکس را می‌توان در زمرة این مواد مهندسی قرار داد. این گونه فولادها دارای ساختار دو فازی فریت و آستینی می‌باشند. هر دو فاز دارای خاصیت زنگ نزنی بوده و به عبارتی حد اقل  $12\%$  وزنی کروم را در حالت محلول دارا می‌باشند. مقاومت به خوردگی موضعی (شامل خوردگی خفرهای) این فولادها بالاتر از انواع دیگر فولادهای زنگ نزن آستینی و فریتی است. علاوه بر مقاومت عالی به خوردگی موضعی، خواص مکانیکی بالا، قابلیت کار مکانیکی گرم و از طرفی قابلیت جوشکاری بهتر این فولادها، آنها را در زمرة اول ساخت ساختارهای مهندسی قرار داده شده در محیط‌های خورنده طبیعی از جمله اتمسفر دریایی، در مقایسه با دیگر فولادهای زنگ نزن، قرار داده است [3]. یکی از روش‌های معمول طبقه بندی فولادهای زنگ نزن از نقطه نظر حساسیت به خوردگی خفرهای Pitting استفاده از عدد مقاومت به خوردگی خفرهای (Resistance Number) می‌باشد. مقدار این عدد به گونه ای تابع درصد مهمترین عناصر آلیاژی مفید مثل کروم، مولیبدن و نیتروژن در این فولادها است. این عدد PRN به صورت زیر تعریف می‌گردد.

$$(1) \quad PRN = \%Cr + 3.3\%Mo + 16\%N$$

سریعتر مناطق نواحی مرز دانه در اثر پلاریزاسیون در محلول حاوی یون بروماید را به نرخ بالاتر انحلال اتم‌های مولیدن، به خاطر تأثیر مخرب یون بروماید در مقایسه با یون کلراید، نسبت دادند [13].

هدف از تحقیق حاضر بررسی تأثیر همزمان یون‌های کلراید و بروماید بر خوردگی حفره‌ای فولاد تجاری زنگ نزن دیوبلکس با هدف ارزیابی تأثیر محیط دریابی بر خوردگی این فولادها است. برای این منظور آزمون‌های متعددی در غلاظت‌های مختلف از یون کلراید انجام شد و با نتایج آزمون‌های مشابه همین فولاد در محلول‌های حاوی غلاظت ساری از یون‌های کلراید و بروماید، اما متناسب با غلاظت یون کلراید محلول‌های تنها حاوی یون کلراید، مقایسه گردید. بدین گونه تأثیر اختلاف غلاظت یون‌های مهاجم هالید از بین رفته و تنها جایگزین شدن غلاظت مشخصی از یون‌های کلراید توسط یون‌های بروماید مورد ارزیابی و کنکاش قرار گرفت.

### روش انجام آزمایش‌ها

(الف) آماده سازی نمونه‌ها: نمونه‌ها از فولاد تجاری دیوبلکس به دو صورت تهیه شدند. برای آزمون‌های اندازه‌گیری پتانسیل حفره‌دار شدن و به منظور جلوگیری از وقوع خوردگی ثیاری بجای خوردگی حفره‌ای، نمونه‌ها به صورت الکترود میله‌ای با قطر ۵ mm تهیه شدند. نمونه‌ها پس از تراشکاری به شکل نهایی، از یک انتهای به داخل محلول فرو برد شده و به طرف دیگر آنها برای برقراری اتصال الکتریکی سیم مسی وصل شده است. سطح وارد شده در هر آزمون پلاریزاسیون با پتانسیل متغیر در حدود ۴/۵ تا ۵ سانتیمتر مربع بوده است. انتخاب سطح وسیع باعث به حداقل رساندن احتمال عدم وجود نقاط شروع خوردگی حفره‌ای که همان آنفال‌های سطحی می‌باشد،

فولادها حاوی ۰/۵ تا ۲٪ وزنی منگنز و همچنین مقادیری سیلیسیم نیز می‌باشند. نتایج محققان بیانگر این است که اضافه کردن مولیدن نتایج بسیار پرشمری در افزایش مقاومت به خوردگی موضعی، این فولادها داشته است [8] از طرفی اضافه کردن مس نیز کمک به افزایش قابلیت عملیات حرارتی و همچنین بهبود مقاومت به خوردگی حفره‌ای در آنها می‌شود [9].  
تحقیقات گسترده‌ای در خصوص تأثیر یون کلراید بر خوردگی حفره‌ای فولادهای زنگ نزن دیوبلکس انجام شده است [10,11] ولی در مورد تأثیر دیگر یون‌های هالید مثل یون بروماید تحقیقات به اندازه تأثیر یون کلراید انجام نشده است. از آنجا که این فولادها به طور وسیع در اتصافهای دریابی مورد استفاده قرار می‌گیرند و با توجه به وجود هر دو نوع یون هالید در آب دریا، تأثیر همزمان هر دو یون در خوردگی حفره‌ای مورد توجه محققان قرار گرفته است [12,13]. کانکرو و آبیاک تأثیر مخرب یون بروماید را با تحقیق عمیق بر روی تعدادی از فولادهای زنگ نزن آستینتی و فریتی حاوی مولیدن، با امکان ساخت کپلکس بین یون‌های بروماید و اتم‌های مولیدن، غنی شدن در سطح حفره و بالطبع افزایش نرخ انحلال در حفره در مقایسه با یون کلراید، مرتبط دانسته‌اند [12]. در خصوص تأثیر مخرب یون بروماید در از بین بردن خواص مفید مولیدن در فولادهای زنگ نزن دیوبلکس، آگیلار و نیومن نیز این موضوع را مورد تأیید قرار داده اند. آنها با انجام عملیات حرارتی حساس سازی به منظور رسوب فازهای ثانویه، فولاد زنگ نزن دیوبلکس را در محدوده دمایی ۶۷۵ تا ۸۲۵°C قرار دادند و سپس آزمون‌هایی الکتروشیمیایی بر اساس اعمال جریان گالوانوستاتیک ضعیف در محلول‌های حاوی یون کلراید و بروماید طراحی نمودند. بررسی آنها به کسب نتایج چشمگیرتری در محلول حاوی یون بروماید، در مقایسه با یون کلراید، بخصوص در نشان دادن متعلقه خالی از اتم‌های کروم، منجر شد. آنها فعال شدن

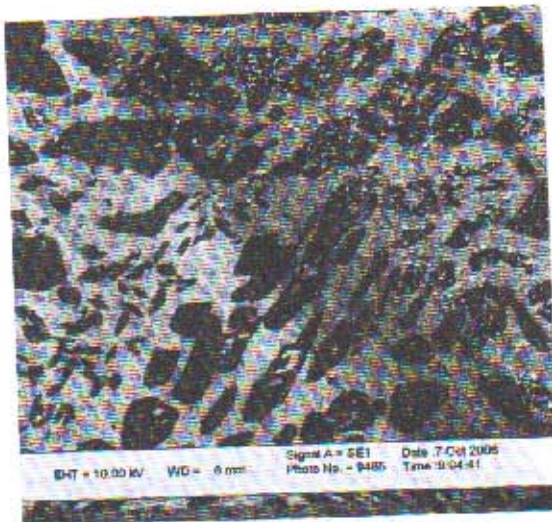
و الکترود خشی از سبیم پلاتین با سطح  $2\text{ cm}^2$  مورد استفاده قرار گرفته شده است. در نتایج تمامی پتانسیل‌های ارائه شده از الکترود کاری نسبت به الکترود مرجع کالومل اثبات گزارش شده است. دو نوع آزمون الکتروشیمی شامل آزمون‌های پلاریزاسیون با پتانسیل متغیر و ثابت برای بررسی خوردگی حفره‌ای نمونه‌ها به کار گرفته شده است. در آزمون‌های پلاریزاسیون با پتانسیل متغیر ابتدا پس از چند دقیقه قرار دادن الکترود کاری در محلول، برای پایدار شدن پتانسیل خوردگی، الکترود از  $100\text{ mV}$  منطقه کاتدی با سرعت  $1\text{ mV/s}$  به سمت منطقه آندی پلاریزه شده تا بدین صورت پتانسیل خوردگی دینامیک (پتانسیل مناسب با شدت جریان خالص صفر) در دیاگرام پدیدار گردد. پتانسیل مناسب با شدت جریان  $100\mu\text{A/cm}^2$ ، پتانسیل حفره‌دار شدن در نظر گرفته شده است [16-17]. بدین صورت می‌توان با مقایسه پتانسیل حفره‌دار شدن، تأثیر غلظت یون کلراید و همزمان یون‌های کلراید و بروماید را مقایسه کرد. از طرفی به منظور بررسی تأثیر هر کدام از یون‌ها و غلظت آنها بر وقوع حفره‌های ناپایدار، آزمون‌های متعدد پلاریزاسیون با پتانسیل ثابت انجام شد. پتانسیل اعمالی با مشاهده مناطق روینیگی از دیاگرام‌های E-logi به دست آمده از آزمون‌های پلاریزاسیون با پتانسیل متغیر به الکترود کاری نسبت به الکترود مرجع اعمال و شدت جریان برای بازه زمانی مشخصی ثبت گردید. برای بررسی مورفولوژی حفره‌های پایدار پتانسیل ثابت آندی  $700\text{ mV}$  در محلول حاوی یون بروماید به الکترود کاری اعمال و با ثبت تغییرات شدت جریان و اطمینان از وقوع حفره‌های پایدار، مورفولوژی آنها به وسیله میکروسکوب الکترونی روشنی مورد تجزیه و

می‌گردد و نتایج با قابلیت تکرار پذیری بیشتری را محقق می‌سازد. به منظور ثبت نوسانات شدت جریان آندی ناشی از تشکیل حفره‌های ناپایدار در آزمون‌های پلاریزاسیون با پتانسیل ثابت، نمونه‌هایی با سطح  $0.36\text{ cm}^2$  سانتیمتر مربع از فولاد پریله شد. نمونه‌ها قبل از مانع سرد در رزین به مدت نیم ساعت در محلول اسید نیتریک  $40\%$  در دمای  $40^\circ\text{C}$  پیش پسیو شدند تا احتمال وقوع خوردگی شیاری در فصل مشترک رزین و نمونه به حداقل رسانده شود [14]. همین نمونه‌ها پس از آزمون‌های پلاریزاسیون با پتانسیل ثابت برای بررسی مورفولوژی حفره‌ها توسط میکروسکوپ الکترونی روشنی مورد بررسی قرار گرفتند. به منظور بررسی مورفولوژی آلیاژ، نمونه‌ها در محلول بررسی اسید کلریدریک اج شدند [15].

ب) آماده سازی محلول: برای بررسی تأثیر غلظت یون‌های مهاجم کلراید و بروماید آزمون‌ها در محلول‌هایی با غلظت ثابت  $0.1\text{ M}$  و  $0.01\text{ M}$  مولار از این یون‌ها با به کار گیری نمکهای سدیم کلراید و سدیم بروماید تهیه شدند. در هر محلول حاوی یون‌های کلراید و بروماید غلظت یون‌ها با یکدیگر برابر انتخاب شده است. برای هر دو الی سه آزمون  $500\text{ ml}$  با توجه به نوع آزمایش از محلول تازه تهیه شده مورد استفاده قرار گرفته است.

ج) آزمون‌ها: در این تحقیق آزمون‌های خوردگی بر اساس سه الکترود بنا شده و اندازه‌گیری‌ها توسط دستگاه پتانسیومتر ACM Instrument انجام شده است. الکترود کاری پس از سباده کاری ترا تا سمباده  $1200\text{ s}$  اعمال و قبل از فرو بردن در محلول ابتدا با آستان چرسی زدایی و سپس با آب مقطر شسته شده اند. الکترود مرجع از نوع کالومل اثبات

تحليل قرار گرفت.



شکل ۱ تصویر میکروسکوب الکترونی روشی از فولاد پرپلاکس  
مورد بررسی

به کارگیری پلازماسیون با پتانسیل متغیر یکی از رایجترین انواع بررسی خوردگی موضعی، از جمله خوردگی حفره ای فولادهای زنگ تزن و دیگر آلیاژهای با قابلیت روینگی، می‌باشد. در این روش با به کارگیری راهکاری مناسب از جمله استفاده از الکترود میله ای با از بین بردن احتمال وقوع خوردگی شیاری، با آندی پلازیز نمودن الکترود کاری می‌توان در منطقه آندی وقوع خوردگی حفره ای را با افزایش شدید و ناگهانی شدت جریان در منطقه روینگی مشاهده کرد. معمولاً پتانسیل حفره دار شدن را پتانسیل شدت جریان  $100\mu\text{A}/\text{cm}^2$  می‌نامند [17-16]. شکل (۲) تغییرات E-logi را برای فولاد مورد آزمون در غلظت‌های مختلف از یون کلر در دمای  $25^\circ\text{C}$  نشان می‌دهد. همین تغییرات در شکل (۳) برای محلول حاوی یون کلراید و بروماید اما با غلظت برابر با محلول حاوی تنها یون کلراید برای همین دما نشان داده شده است. فولاد در محلول حاوی یون کلراید رفتار کاملاً روینگ را تا قبل از فراروینگی نشان می‌دهد. با توجه به pH خشی محیط و

## بررسی و تحلیل نتایج

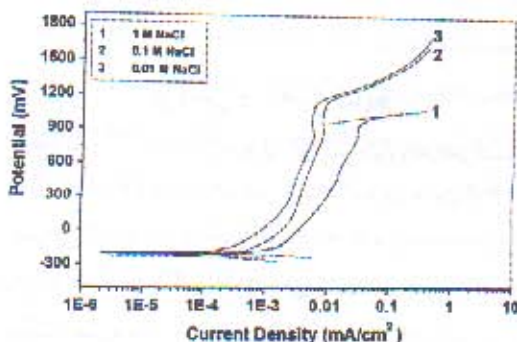
جدول (۱) نتیجه آزمون کوانسومتری عناصر اصلی سازنده فولاد را نشان می‌دهد. با بررسی ترکیب شیمیایی فولاد یاد شده، با توجه به عدم وجود نیتروژن از یک طرف و مقادیر کروم، مولیبدن و نیکل از طرف دیگر، می‌توان آن را در زمرة فولادهای دیپلاکس متوسط آلیاژ (Medium Alloyed) قرار داد.

جدول ۱ ترکیب شیمیایی فولاد زنگ تزن مورد تحییق

عناصر اصلی تشکیل دهنده آلیاژ (درصد وزنی)							
Fe	C	Si	Mn	Mo	Ni	Cr	Cu
Balance	0.016	0.52	1.66	3.32	5.8	24.36	0.1

در این فولادها درصد وزنی و یا حجمی فازهای فریت و آستینت به طور مستقیم به ترکیب شیمیایی مرتبط می‌گردد. به عبارتی درصد وزنی عناصر پایدار کننده فرت (مانند مولیبدن، کروم و سیلیسیم) و عناصر پایدار کننده آستینت (مانند نیکل و مس) تعیین کننده درصد وزنی و در نتیجه درصد حجمی هر کدام از فازها می‌باشد. با توجه به نقش مستقیم عناصر پایدار کننده فاز فریت و عناصر پایدار کننده فاز آستینت، بدون محاسبه دقیق نیکل و کروم معادل ( $\text{Ni}_{eq}, \text{Cr}_{eq}$ ) و دسترسی به دیاگرام تعادلی  $\text{Fe}-\text{Cr}_{eq}-\text{Ni}_{eq}$  نمی‌توان درصد وزنی فازها را تخمین زد. اما با به کارگیری دیاگرام فازی  $\text{Cr}-\text{Ni}-68\text{Fe}$  و نیز قانون اهرم، یک ساختار حاوی در حدود 55% از فاز فریت و 45% از فاز آستینت را می‌توان انتظار داشت [18]. معرفولوزی این فولاد پس از انجام در تصویر الکترونی روشی شکل (۱) دیده می‌شود. در زمینه فریتی (فاز روشن به هم پیوسته) دانه‌های آستینت قرار گرفته‌اند. اندازه این دانه‌ها از چند میکرون تا بیشتر از سی میکرون متغیر می‌باشد.

خوردگی سفره‌ای فولاد زنك نزن دیوپلکس...



شکل ۲ نسودار E-logi فولاد زنگ نزن دیوپلکس در محلول حاوی غلظت‌های مختلف از یون کلراید در دمای ۲۵°C با سرعت رویش پتانسیل ۱mV/s

بررسی پلاریزاسیون با پتانسیل متغیر در محلول حاوی یون‌های کلراید و بروماید با نسبت‌های مساوی در غلظت‌های مختلف در شکل (۳) نشان داده شده است. در غلظت‌های ۰.۰۱ و ۰.۱ مولار از این یون‌ها پسیوپتی فولاد در اثر فرایند فرارویینگی بدون وقوع خوردگی به پایان می‌رسد. اما هنگامی که غلظت یون‌های مهاجم به ۱ مولار افزایش می‌باید قبل از رسیدن پتانسیل به پتانسیل فرارویینگی، خوردگی سفره‌ای در خصوص نزدیک به ۶۰۰ mV به وقوع می‌پوندد. در نظر باشد، خوردگی سفره‌ای نکهای که بایستی در حالت طبیعی و امکان وقوع خوردگی سفره‌ای در حالت طبیعی و هنگامی که آلیاژ در محلول حاوی یون مهاجم بدون اعمال پلاریزاسیون یا اعمال پتانسیل خارجی قرار می‌گیرد است. شرط وقوع خوردگی سفره‌ای برقراری رابطه زیر می‌باشد:

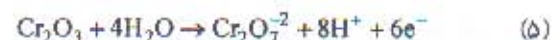
$$E_{\text{Corr}} > E_{\text{Pti}} \quad (6)$$

در این رابطه  $E_{\text{Corr}}$  و  $E_{\text{Pti}}$  به ترتیب پتانسیل‌های خوردگی و سفره دار شدن می‌باشند. چنین شرایطی را می‌توان برای خوردگی فرارویینگی نیز نوشت، به عبارتی شرط وقوع انحلال فرارویینگی در حالت طبیعی

از طرفی عناصر آلیاژی موجود در فولاد براحتی نمی‌توان احتمال عدم شارکت هیدروواکسید یا اکسید آهن را در رویین شدن از نظر دور داشت. اگرچه نقش مهم کروم در برقراری رویینگی را نمی‌توان انکار و یا غیر مهم دانست، طبیعی است با توجه به دیاکرامهای پوره کروم و آهن در محیط‌های آبی می‌توان واکنش‌های ذیر را برای واکنش‌های آندی و کاتدی در نظر گرفت. بر اساس تئوری پتانسیل تعادلی برگشت پدیر جمع جبری واکنش‌های آندی و واکنش کاتدی قرار می‌گیرد.



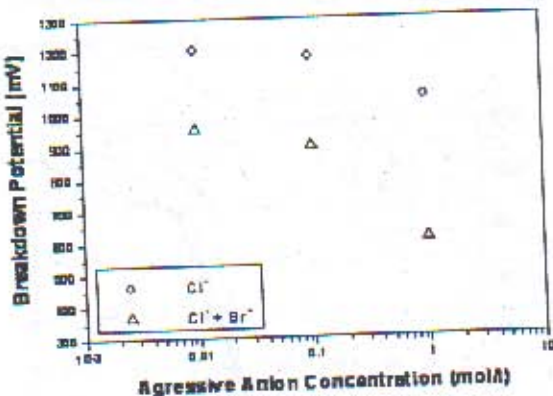
به منظور حصول اطمینان از نوع افزایش جریان در پتانسیل ۱۰۵۰ mV مربوط به دیاگرام E-logi در محلول ۱M NaCl که ناشی از خوردگی سفره‌ای و یا ناشی از واکنش فرارویینگی است، برگشت پتانسیل از شدت جریان  $300 \mu\text{A}/\text{cm}^2$  در فرایند پلاریزاسیون انجام شده و با توجه به انطباق شدت جریان رفت و برگشت در این محدوده از دیاگرام می‌تواند تأییدی بر عدم وقوع خوردگی سفره‌ای باشد. تنها وقوع فرایند فرارویینگی ناشی از انحلال کروم سه ظرفیتی به صورت کرمات (کروم شش ظرفیتی) را می‌توان بر اساس واکنش الکتروشیمیایی ذیر دانست.



حاوی  $M_{Cl^-} = 0.05$  از یون‌های کلراید و بروماید (مجموع غلظت یون‌ها برابر با ۱ مولار) را ادعا نمود.

(بدون آندی پلاریزه نمودن آلیاز با اعمال پتانسیل از منبع خارجی) به صورت زیر می‌باشد.  
(۷)

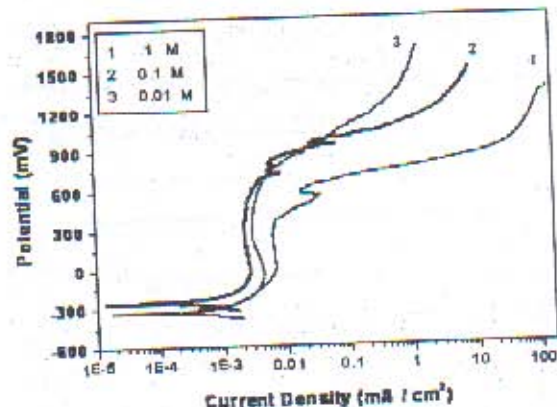
$$E_{corr} > E_{Tr}$$



شکل ۱ تغییرات پتانسیل تخریب رویینگی بر حسب غلظت یون‌های هالید متوج از آزمون پلاریزاسیون با پتانسیل متغیر در دمای  $25^\circ C$

آب دریا افزون بر در برداشتن یون‌های کلراید و بروماید، بنای منطقه جغرافیایی و عمق آن، می‌تواند گرادیان دمایی متفاوتی داشته باشد. این آب در مناطق حاره از جمله خلیج فارس، در ایام گرم سال دمایی در محدوده  $40$  تا  $45^\circ C$  دارد بررسی خوردگی حفره‌ای این فولاد در دمای  $45^\circ C$  در غلظت‌های مختلف از یون کلراید و مخلوطی از یون‌های کلراید و بروماید در شکل‌های (۵) و (۶) آورده شده است. وقوع نوسانات شدت جریان در منطقه رویینگی، بخصوص در غلظت‌های  $0.1$  و  $1$  مولار از یون کلراید، نشان دهنده افزایش پتانسیل محیط برای وقوع خوردگی حفره‌ای است. با توجه به وجود غلظت نسبتاً بالای عناصر آلیازی مفید از جمله کروم و مولیبدن در این فولاد، هیچگونه خوردگی حفره‌ای (یعنی جوانه زنی و رشد حفره‌های پایدار) در پتانسیل حفره دار شدن به وقوع نپوشته و این فولاد در این دما تنها خوردگی فراروینگی را در پتانسیل‌های کاملاً آندی تجربه می‌کند. با جایگزین شدن یون‌های بروماید بجای غلظت

که در رابطه بالا  $E_{Tr}$  پتانسیل فراروینگی می‌باشد. با توجه به شکل‌های (۱) و (۲) می‌توان انتظار داشت احتمال وقوع خوردگی حفره‌ای در محلول حاوی  $1$  مولار از یون‌های کلراید و بروماید با رسیدن پتانسیل خوردگی به این پتانسیل، با توجه به درجه اکسیداسیون محلول، برقرار می‌گردد.



شکل ۲ دیاگرام  $E-\log i$  فولاد زنگ نزن دیبورلکس در محلول حاوی غلظت‌های مختلف از یون‌های کلراید و بروماید در دمای  $25^\circ C$  با سرعت روش پتانسیل  $1 mV/s$

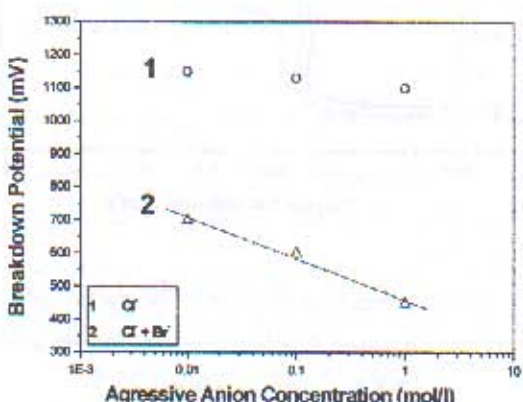
نمودار تغییرات پتانسیل تخریب رویینگی، خواه به صورت فرا رویینگی خواه در اثر خوردگی حفره‌ای، با غلظت یون‌های مهاجم در دمای  $25^\circ C$  در شکل (۴) آورده شده است. پتانسیل فرا رویینگی اگر چه تابعی از غلظت یون‌های  $H^+$  می‌باشد ولی می‌توان آنرا مستقل از غلظت یون‌های مهاجم دانست. این پتانسیل در  $pH$  خنثی در پتانسیل‌های آندی بیش از  $950$   $mV$  نسبت به الکترود مرجع کالومل به وقوع می‌پیوندد. به طور قطعی و یقین می‌توان وقوع خوردگی حفره‌ای در محلول

خوردگی سفرهای خولاد زنگ نزن دیپولکس...

گسترهای انجام گرفته است. به طور کلی تمامی این تحقیقات رفتار رویینگی فولادهای زنگ نزن را در محلول‌های حاوی یون‌های کلر تحت تأثیر غلظت آنها دانسته‌اند. رفتار لگاریتمی بین غلظت یون کلراید، و به طور کلی یون‌های مهاجم هالید، و پتانسیل حفره دار شده ( $E_{\text{pit}}$ ) به صورت زیر معرفی شده است [19].

$$E_{\text{pit}} = E_{\text{p}^{\circ}} - B \log[\text{Cl}^-] \quad (\text{A})$$

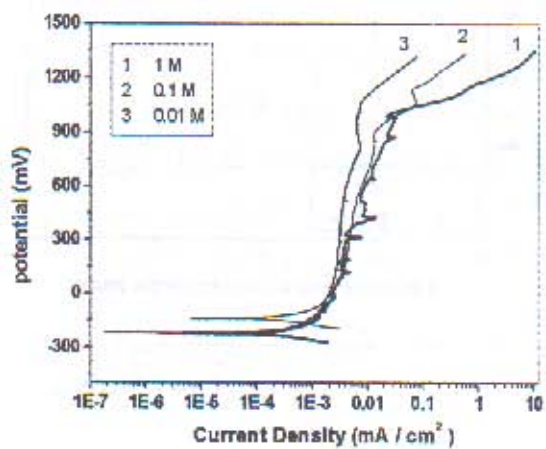
در رابطه بالا  $E_{\text{p}^{\circ}}$  پتانسیل فرارویینگی و  $B$  ثیب تغیرات پتانسیل حفره دار شدن که تابعی از عناصر آلیازی است، می‌باشد. مشابه این ارتباط را می‌توان در غلظت‌های مختلف از یون‌های کلراید و بروماید در دمای  $45^\circ\text{C}$  مشاهده نمود (شکل ۷).



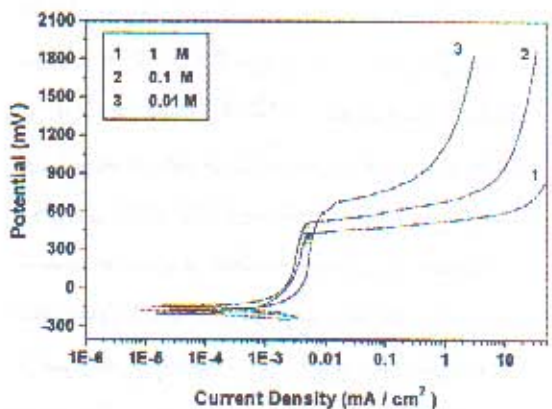
شکل ۷ تغیرات پتانسیل تجزیه رویینگی (Passivity / Breakdown) بر حسب غلظت یون‌های هالید متوجه آزمون پلازماison با پتانسیل متغیر در دمای  $45^\circ\text{C}$

در شکل (۷) می‌توان دو گونه رفتار تغیرات پتانسیل تجزیه رویینگی، یکی در محیط حاوی یون کلراید و دیگری در محیط حاوی یون‌های کلراید و بروماید را مشاهده کرد. از آنجا که در محیط تنها حاوی یون کلراید، تجزیه رویینگی تنها به خاطر اتحال اکسید

مشخصی از یون‌های کلراید، رفتار  $E\text{-log}i$  این فولادها در  $45^\circ\text{C}$  با رفتار دمای  $25^\circ\text{C}$  آنها فرق می‌کند. در تمامی غلظت‌های از این یون‌ها خوردگی سفرهای به وقوع می‌پیوندد (شکل ۶).



شکل ۵ دیاگرام  $E\text{-log}i$  فولاد زنگ نزن دیپولکس در محلول حاوی غلظت‌های مختلف از یون کلراید در دمای  $45^\circ\text{C}$  با سرعت روش پتانسیل  $1\text{mV/s}$



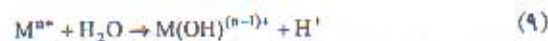
شکل ۶ دیاگرام  $E\text{-log}i$  فولاد زنگ نزن دیپولکس در محلول‌های حاوی غلظت‌های مختلف از یون‌های کلراید و بروماید در دمای  $45^\circ\text{C}$  با سرعت روش پتانسیل  $1\text{mV/s}$

در خصوص تأثیر غلظت یون‌های مهاجم کلراید بر خوردگی فولادهای زنگ نزن تحقیقات بیار

داخل حفره شرایط هیدرولیز شدن کاتیون‌ها را تسهیل نموده و امکان دوباره روین شدن حفره را به حداقل می‌رساند. یک حفره مادامی که غلظت کاتیون‌های داخل آن (در محلول حفره) بالاتر از غلظت بحرانی باشد قادر به رشد می‌باشد و امکان تبدیل شدن آن به حفره پایدار وجود دارد. اما عموماً حفره‌های نایابدار به خاطر افت غلظت کاتیون‌ها به مقدار کمتر از غلظت بحرانی (بدلیل حرکت فلکس آب در اثر خاصیت اسمزی به داخل حفره و رقیق شدن محلول حفره و از طرفی نقش عنصر آلیاژی مفید در کاهش نرخ انحلال و تولید کاتیون‌ها در داخل حفره)، قادر به ادامه حیات نبوده و دوباره روین می‌گردد. روین شدن با جوانه زنی و رشد اکسید و یا هیدروواکید کروم (در فولادهای زنگ نزن) در حفره بوجود می‌آید و منجر به سقوط شدت جریان به شدت جریان پسیویتی می‌شود. پژوهش‌های زیادی در خصوص شکل این نومانات و تجزیه و تحلیل آنها انجام شده است که پرداختن به آنها از محدوده این کار تحقیقاتی خارج است [20]. شکل (۸) تغییرات شدت جریان بر حسب زمان برای ۱۸۰۰ ثانیه با اعمال پتانسیل‌های آندی ۱۵۰، ۳۰۰ و ۴۵۰ mV در دمای ۲۰°C و در محلول‌های ۱M NaCl و ۰.۵M NaCl + ۰.۵M NaBr شدت جریان پسیویتی بر حسب زمان در ۱۵۰ mV آندی به صورت رفتار پسیویتی بدون تفاوت بارز حفرات نایابدار از شدت جریان روینگی دیده می‌شود (افزایش ناگهانی شدت جریان از شدت جریان پسیویتی دیده نمی‌شود). در محلول ۰.۵M NaCl + ۰.۵M NaBr حفره‌های نایابدار کوچکی به صورت افزایش شدت جریان دیده می‌شوند که با افزایش پتانسیل به ۴۵۰ mV تعداد و بزرگی آنها افزایش می‌یابد.

کروم و تولید کرمات در نتیجه فرا روینگی اتفاق افتاده، تقریباً پتانسیل یکسلن را می‌توان برای وقوع آن ملاحظه کرد (واکنش الکتروشیمیایی ۵). اگر چه واکنش فرا روینگی کمتر تابعی از پتانسیل اضافی می‌باشد اما می‌توان پتانسیل تقریبی وقوع آنرا در محیط خشی از جمله محیط‌های به کار گرفته شده در این تحقیق در محدوده بیش از ۹۵۰ mV نسبت به الکترود مرجع کالومل، در نظر گرفت. تجزیه روینگی در همین فولاد در محیط حاوی یون‌های کلراید و بروماید به خاطر خوردگی حفره‌ای اتفاق افتاده است. تغییرات پتانسیل حفره دار شدن با مجموع لوگاریتم غلظت یون‌های کلراید و بروماید رفتار خطی را از خود نشان می‌دهد که بر نتایج دیگر محققان منطبق می‌باشد.

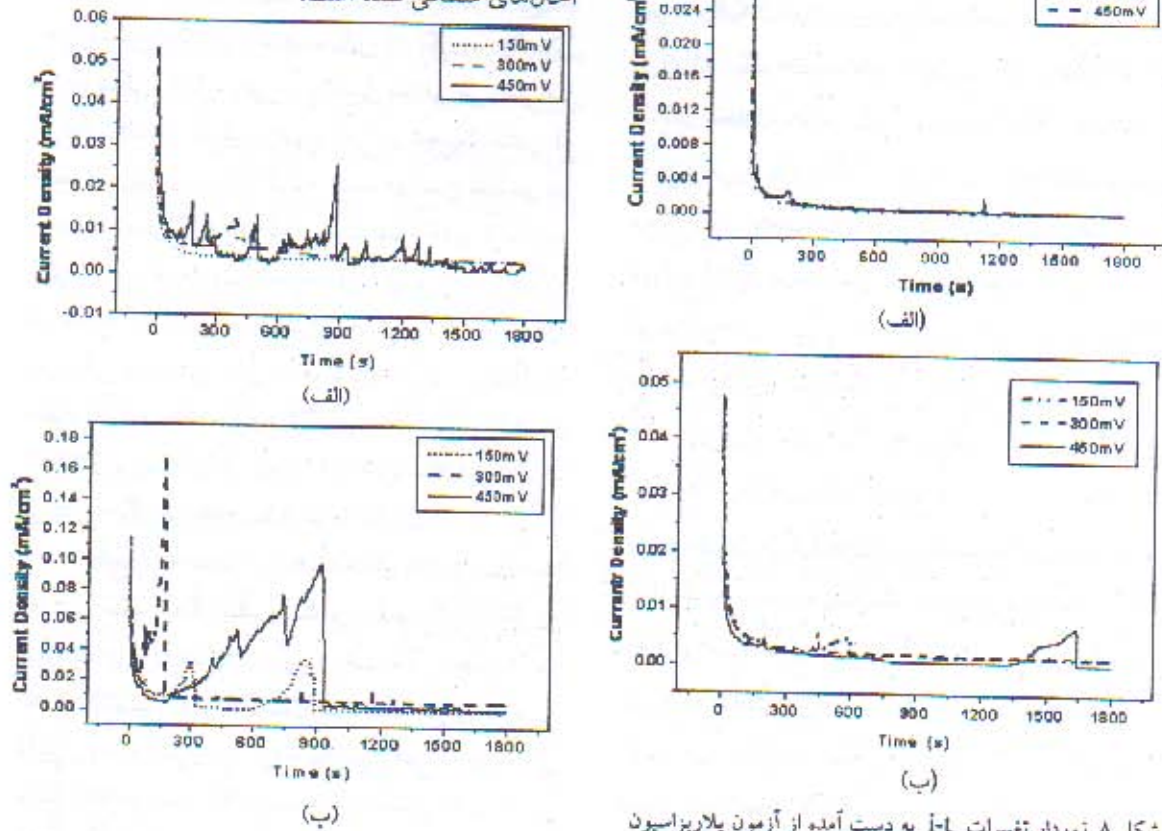
نتایج ارائه شده از آزمون‌های پلاریزاسیون با پتانسیل متغیر بیانگر تأثیر مستقیم یون بروماید جایگزین شده بجای یون کلراید در وقوع خوردگی حفره‌ای با کاهش پتانسیل حفره‌دار شدن، می‌باشد. برای بررسی تأثیر یون‌های کلراید و بروماید بر وقوع حفره‌های نایابدار، آزمون‌های پلاریزاسیون در پتانسیل ثابت آندی ۱۵۰-۳۰۰-۴۵۰ mV ناجم شده است. وقوع حفره‌های نایابدار را می‌توان در آزمون پلاریزاسیون تحت شدت جریان ثابت (گالوانوستاتیک) به صورت کاهش ناگهانی پتانسیل و سپس برگشت آن به مقدار اولیه، و در آزمون پلاریزاسیون تحت پتانسیل ثابت به صورت افزایش ناگهانی شدت جریان و برگشت سریع آن به شدت جریان روینگی ثبت نمود. وقوع هر حفره نایابدار با افزایش شدت جریان ناشی از انحلال اتم‌ها به صورت کاتیون در حفره همراه است. بر اساس تئوری اسیدی شدن حفره گالوله [19] هیدرولیز شدن کاتیون‌ها در داخل حفره باعث کاهش شدید pH حفره شده و بالطبع باعث انحلال شدیدتر اتم‌های به صورت کاتیون خواهد شد.



انتقال یون‌های مهاجم از محلول خارج حفره به

خوردگی سطحی فولاد زنک نزن دیپلکس...

فعال شدن محلهای شروع خوردگی حفره‌ای یعنی آخالهای سطحی شده است.



شکل ۹ نمودار تغیرات  $I-t$  به دست آمده از آزمون پلاریزاسیون با پتانسیل ثابت در محلول (الف) 1M NaCl و (ب) محلول حاوی ۰.۵M NaCl + ۰.۵M NaBr در دمای ۲۵°C

آنالیز کمی نوسانات شدت جریان ناشی از دوباره روین شدن حفره‌های ناپایدار از نقطه نظر تعداد، بزرگی شدت جریان و همچنین طول عمر آنها در دمای ۴۵°C و برای محلول‌های 1M NaCl و محلول ۰.۵M NaCl + ۰.۵M NaBr ۱۸۰۰ ثانیه بیانگر اطلاعات مفیدی در خصوص تأثیر یون‌های برماید جایگزین شده بجای یون‌های کلراید به دست می‌دهد. شکل (۱۰-ب) تغیرات طول عمر حفره‌های ناپایدار ثبت شده برای دمای ۴۵°C در دو محلول باد شده بر حسب بزرگی آنها در یک آزمون پلاریزاسیون آندی تحت اعمال ۴۵۰ mV برای مدت زمان بیست

شکل ۸ نمودار تغیرات  $I-t$  به دست آمده از آزمون پلاریزاسیون با پتانسیل ثابت در محلول (الف) 1M NaCl و (ب) محلول حاوی ۰.۵M NaCl + ۰.۵M NaBr در دمای ۲۵°C

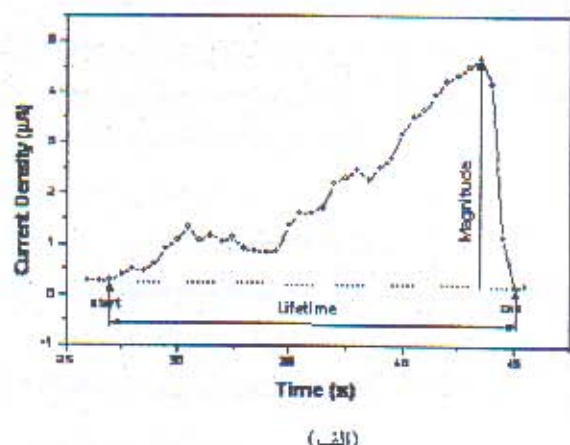
افزایش دما به ۴۵°C باعث وقوع حفره‌های ناپایدار در پتانسیل ۳۰۰ mV با طول عمر کوتاه تر و اندازه بزرگ‌تر شده است. در شکل (۹) با افزایش دما به ۴۵°C حفرات ناپایدار با طول عمر و بزرگی بیشتر دیده می‌شود در محلول ۰.۵M NaCl + ۰.۵M NaBr با افزایش پتانسیل آندی به ۴۵۰ mV حفرات با طول عمر بسیار زیاد وجود دارند ولی همه این حفره‌ها به صورت ناپایدار هستند و با گذشت زمان و در اثر تشکیل لایه پسیو درون حفره‌ها دوباره پسیو می‌شوند. در تمام آزمون‌ها در دمای ۲۵°C و ۴۵°C در بازه زمانی انجام آزمون یعنی ۱۸۰۰ s هیچ گونه حفره پایداری تشکیل نشده است. افزایش دما از در بازه یاد شده باعث

تعداد حفره‌های ناپایدار از محلول حاوی یون کلراید و بروماید بیشتر است. دوم اینکه بزرگی و طول عمر حفره‌های ناپایدار در محلول حاوی یون‌های کلراید و بروماید بمراتب بزرگتر از این حفره‌ها در محلول حاوی یون کلراید می‌باشد. این نتیجه در برگیرنده این واقعیت می‌باشد که جایگزین شدن یون بروماید به جای یون کلراید در محلول  $0.5M\ NaCl + 0.5M\ NaBr$  در مقایسه با محلول  $0.5M\ NaCl$ ، باعث پایداری نسبی حفره‌های ناپایدار با طولانی تر کردن طول عمر (۱) آنها و از طرفی بزرگی جریان (۱) مربوط به آنها شده است. به عبارتی اگر مقدار بار الکتریکی ناشی از انحلال هر حفره ناپایدار ( $Q_{metastable}$ ) را به صورت زیر تعریف کنیم:

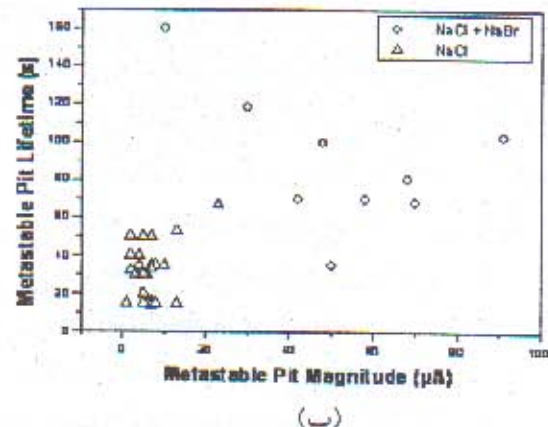
$$Q_{metastable} = \int I dt \quad (10)$$

این مقدار در محلول یدون این یون‌ها می‌باشد. این نتیجه بیشتر از محلول یدون این یون‌ها می‌باشد. این نتیجه دقیقاً مرتبط با نتایج آیراکس [12] و نیومن [13] می‌باشد. مبنای نتایج این محققان در تأثیر مخرب یون بروماید بر اتم‌های مولیبدن، جذب سطحی شدن در داخل حفره می‌باشد. پدین گونه که نقش مفید این عنصر آلیاژی که در خوردگی حفره‌ای فولادهای زنگ نزن در محلول‌های حاوی یون کلراید به اثبات رسیده است را از بین می‌برد [8]. نقش مفید مولیبدن به تجمع اتم‌های آهن و کاهش نرخ انحلال اتم‌ها به داخل حفره نسبت داده می‌شود که در صورت موجود بودن یون بروماید این نقش عملاً متفاوت می‌شود. بررسی توپوگرافی حفره‌های ناپایدار و پایدار در محلول حاوی یون بروماید می‌توانست اطلاعات مفیدی برای قوام بخشیدن نتایج در برداشته باشد. از این رو برای وقوع حفره‌های پایدار و ناپایدار نمونه مورد آزمون تحت پتانسیل ثابت آندی  $450\ mV$  به مدت پانزده ثانیه در محلول  $0.5M\ NaCl + 0.5M\ NaBr$  در دمای  $45^\circ C$

دقیقه به تصویر کشیده شده است. به منظور تعریف دقیقت از طول عمر و بزرگی یک حفره ناپایدار در شکل (۱۰-الف) تصویر واقعی از یک حفره ناپایدار که در آن بزرگی و طول عمر حفره نشان داده شده است، مشاهده می‌گردد. در این شکل زمینه شدت جریان روینگی با خط چین مشخص شده است.



(الف)



(ب)

شکل ۱۰ (الف) منحنی شدت جریان بر حسب زمان که بزرگی و طول عمر یک حفره ناپایدار را نشان می‌دهد. (ب) توزیع حفره‌های ناپایدار تشکیل شده ناشی در آزمون پلاریزاسیون با پتانسیل آندی ثابت  $450\ mV$  در محلول‌های  $1M\ NaCl$  و  $0.5M\ NaCl + 0.5M\ NaBr$  در دمای  $45^\circ C$

توزیع حفره‌های ناپایدار از نظر بزرگی و طول عمر در شکل (۱۰-ب) در برگیرنده دو نتیجه مهم می‌باشد. نخست اینکه در محلول تنها حاوی یون کلراید

خوردگی سفره‌ای فولاد زنک نزن دیبورنکس...

فازها مشخص گردند. شکل (۱۱) تیجه بررسی‌های میکروسکوپ الکترونی رویشی را نشان می‌دهد. تشکیل حفره پایدار که در درون فریت (عنی از مولیبدن) قرار دارد، در شکل (۱۱ - الف) دیده می‌شود. حفره‌های ناپایدار که به صورت حفره‌های کروی باز به تعداد بسیار زیاد به وجود آمده‌اند و همچنین حفره پایدار در فاز فریت، در شکل (۱۱ - ب) بروشنی قابل رویت می‌باشد. این تصاویر نیز تخریب نقش مغاید عنصر آلیاژی مولیبدن موجود در فاز فریت توسط یون‌های بروماید را تأیید می‌نمایند.

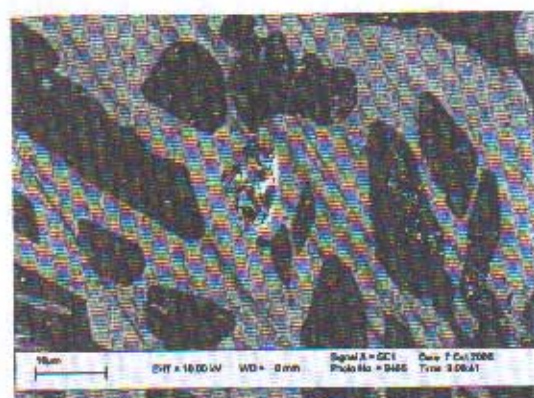
### نتیجه گیری

تأثیر مخرب جایگزینی غلظت یکسانی از یون بروماید به جای یون کلراید در آزمایشات پلاریزاسیون با پتانسیل متغیر در کاهش پتانسیل حفره دار شدن، در زیر آورده شده است.

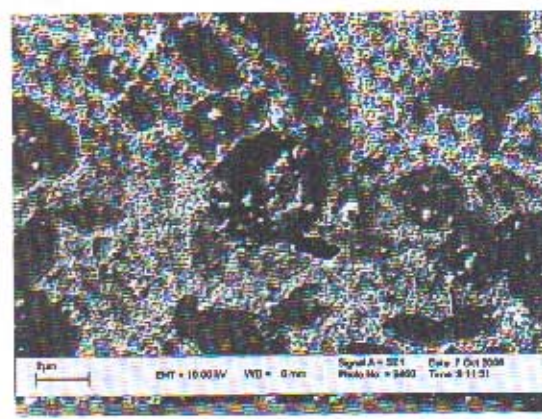
(۱) بررسی پلاریزاسیون با پتانسیل متغیر، نوسانات ناشی از تشکیل حفره‌های ناپایدار در پتانسیل آندی اعمالی منطقه رویستگی آلیاژ در محلول‌های حاوی یون بروماید جایگزین شده بجای یون کلراید، نشانده‌نده کاهش نوسانات شدت جریان ناشی از این حفره‌ها و همچنین افزایش بزرگی و طول عمر حفره‌های ایجاد شده، می‌باشد.

(۲) بررسی میکروسکوپی حفره‌های پایدار و ناپایدار در محلول حاوی یون بروماید، نشانده‌نده تمایل به تشکیل حفره‌ها در فاز فریت به خاطر اثر نقش مخرب یون بروماید بر حفاظتی اتم‌های مولیبدن حل شده در این فاز می‌باشد.

فرار داده شد. این پتانسیل اعمالی در این دما کاملاً بالاتر از پتانسیل حفره دار شدن این فولاد در این محلول می‌باشد، (شکل ۶).



(الف)



(ب)

شکل ۱۱ تصویر میکروسکوپ الکترونی رویشی از حفره‌های پایدار و ناپایدار بوجود آمده از آزمون پلاریزاسیون تحت پتانسیل آندی ثابت ۷۰۰ mV در محلول ۰.۵M NaCl + ۰.۵M NaBr در دمای ۴۵°C.

با اطمینان از وقوع خوردگی سفره‌ای نمونه پلاریزه شده قبل از بررسی میکروسکوپی اج شد تا محلول‌های وقوع حفره‌ها از نظر تمایل به قرار گرفتن آنها در هر کدام از

### مراجع

1. Castle, J.E., and Ke, R., "Studies by Auger spectroscopy of pit initiation at the site of inclusions in stainless steel", Corr. Sci., 30, pp. 409-428, (1990).

16. Abd. E. A., Meguid, El., Abd, A.A., Lattif, El., " Electrochemical and SEM study on type 254 SMO stainless steel in chloride solution", Corr. Sci., 46, pp. 2431-2444, (2004).
17. Young Ha, H., Jin Park, C., and Sang Kwon, H., "Effects of Non-metallic Inclusion on the Initiation of Pitting Corrosion in 11% Cr Ferritic stainless Steel Examined by Micro-Droplet Cell", Corr. Sci., 49, pp.1266-1275, (2007).
18. Charles, J., The Duplex Stainless Steel: Materials to Meet Your Needs, Proceedings of the Duplex Stainless Steel Conference, Beaune, France, pp.3-11, (1991).
19. Galvele, J.R., "Transport processes and the mechanism of pitting of metals", J. Electrochem. Soc. 123, pp. 464-479, (1976).
20. Moayed, M.H., and Newman, R.C., "Evolution of Current Transient and Morphology of Metastable and Stable Pitting on Stainless Steel Near the Critical Pitting temperature", Corr. Sci., 48, pp. 1004-1018, (2005).